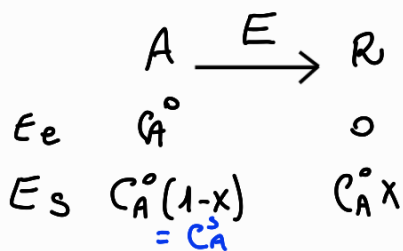


CORRECTION ExercicesProcédés en Réacteurs OUVERTS-Cinétique et Thermodynamique**Exercice 1**

$$\frac{D_V = 25 \text{ L} \cdot \text{min}^{-1}}{C_A^0 = 2 \text{ mol} \cdot \text{L}^{-1}} \rightarrow V$$

Équation de Damköhler :

$$\left(\frac{dm_A}{dt} \right)_e + \left(\frac{dm_A}{dt} \right)_{(R)} - \left(\frac{dm_A}{dr} \right)_s = 0$$

$$\Rightarrow D_V \cdot C_A^0 + V \cdot r - D_V \cdot C_A^0 = 0 \quad \text{régime permanent.}$$

$$r = \frac{d[A]}{dt} = - N_{dA} = - \frac{0,1 \cdot C_A^0}{1 + 0,5 \cdot C_A^0} \quad \text{car parfaitement agité}$$

$$\Rightarrow D_V \cdot C_A^0 - V \cdot \frac{0,1 C_A^0 (1-x)}{1 + 0,5 \cdot C_A^0 (1-x)} - D_V C_A^0 (1-x) = 0$$

On cherche V pour que $X = 0,95 \Leftrightarrow 1-x = 0,05$

$$\Rightarrow D_V \cdot C_A^0 - V \cdot \frac{0,1 \times 0,05 \cdot C_A^0}{1 + 0,5 \times 0,05 \cdot C_A^0} - D_V \cdot 0,05 \cdot C_A^0 = 0$$

$$\Rightarrow V = \frac{D_V \cdot 0,95 \cdot C_A^0 (1 + 0,5 \times 0,05 \times C_A^0)}{0,1 \times 0,05 \times C_A^0}$$

$$\left. \begin{array}{l} D_V = 25 \text{ L} \cdot \text{min}^{-1} \\ C_A^0 = 2 \text{ mol} \cdot \text{L}^{-1} \end{array} \right\} \Rightarrow V \approx 5 \text{ m}^3$$

Exercice 2

$n M \rightarrow P$

$$E_e \quad [M]_e$$

$$E_s \quad \left| \begin{array}{l} [M]_e - n \\ [M]_e (1-x) \end{array} \right\} \Rightarrow X = \frac{n}{[M]_e} \Rightarrow n = [M]_e \cdot X$$

Équation de Damköhler appliquée au monomère M:

$$\left(\frac{d[M_M]}{dt} \right)_e + \left(\frac{d[M_R]}{dt} \right)_{(R)} - \left(\frac{d[M_R]}{dr} \right)_s = 0$$

$$\Rightarrow D_V \cdot [M]_e + r \cdot V - D_V \cdot [M]_s = 0$$

avec $r = \frac{d[\Sigma]_s}{dt} = -n = -k \cdot [M]_s$ où $k = k_p \sqrt{\frac{2k_0 [I]_0}{k_t}}$

↑ car par ailleurs agité

$$\Rightarrow D_V \cdot [M]_e - k \cdot V \cdot [M]_e (1-x) - D_V \cdot [M]_e (1-x) = 0$$

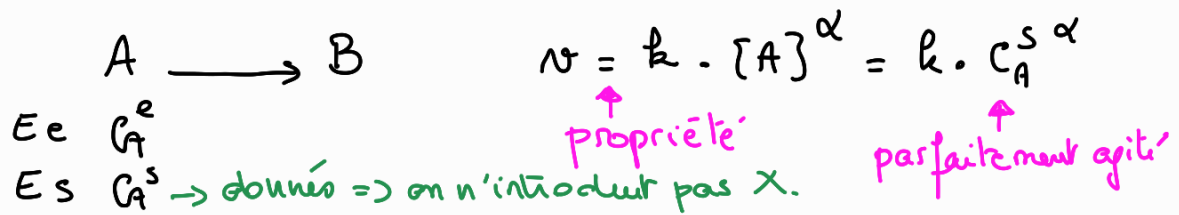
$$\Rightarrow V = \frac{D_V \cdot [M]_e \cdot X}{k \cdot [M]_e \cdot (1-x)} = \frac{D_V \cdot X}{k \cdot (1-x)}$$

avec $k = k_p \sqrt{\frac{2k_0 [I]_0}{k_t}}$

$$\Rightarrow AN: V = \frac{1,2 \times 0,8}{(1-0,8) \cdot 10^{-2} \cdot \sqrt{\frac{2 \cdot 10^{-3} \cdot 10^{-2}}{5 \cdot 10^{-7}}}}$$

$$\Rightarrow V = 75,9 \text{ L}$$

Exercice 3



Equation de Damköhler appliquée à A, avec un débit volumique Q_V

$$Q_V \cdot C_A^e - V \cdot k \cdot (C_A^S)^\alpha - Q_V \cdot C_A^S = 0$$

Guide de raisonnement : isoler le terme qui contient $(C_A^S)^\alpha$ pour pouvoir passer au ln, et obtenir une équation de droite :

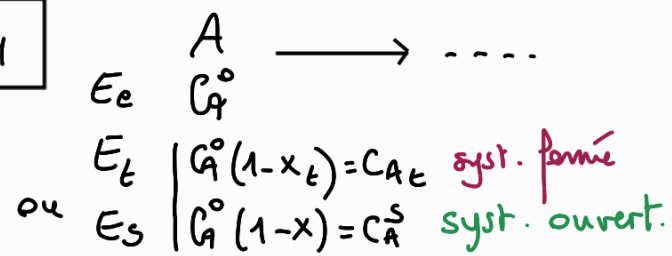
$$V \cdot k \cdot (C_A^S)^\alpha = Q_V (C_A^e - C_A^S)$$

$$\Rightarrow \underbrace{\ln(V \cdot k)}_{\substack{\text{ordonnée à} \\ \text{l'origine}}} + \alpha \cdot \underbrace{\ln C_A^S}_{\substack{\text{pente} \\ X}} = \underbrace{\ln(Q_V(C_A^e - C_A^S))}_{\substack{\text{calculable pour chaque colonne} \\ Y}}$$

$$\text{On trace donc } \underbrace{\ln(Q_V(C_A^e - C_A^S))}_Y = f \underbrace{\ln C_A^S}_X$$

$$\Rightarrow \text{pente} = \boxed{\alpha = 2}$$

Exercice 4



$$v = k \cdot [A]$$

propriété (ordre 1).

1 SYSTÈME FERMÉ : le "temps de passage" est le temps réel au bout duquel la conversion a atteint la valeur souhaitée $X = 0,99$

Équation cinétique : $v = - \frac{d[A]}{dt} = k [A]$

\uparrow
déf

$$\Rightarrow \frac{d[A]_t}{[A]} = - kt$$

$$\Rightarrow \ln \frac{C_A^t}{C_A^0} = - kt$$

On cherche $t = \tau / \frac{C_A^t}{C_A^0} = 1 - 0,99 = 0,01$

$$\Rightarrow \tau = - \frac{1}{k} \cdot \ln 0,01$$

$$\Rightarrow \tau = - \frac{1}{4} \cdot \ln 0,01 \text{ h}$$

$$\Rightarrow \boxed{\tau = 1,15 \text{ h} = 1 \text{ h } 9 \text{ min}}$$

Il faut alors ajouter 30 min de maintenance, soit $1,15 + 0,5 = 1,65 \text{ h}$ pour le processus complet.

$$1 \text{ jour} = 24 \text{ h} \Rightarrow \frac{24}{1,65} = \boxed{14,5 \text{ opérations / jour}}$$

Pour traiter un débit de $10 \text{ m}^3 \cdot \text{h}^{-1}$ en 24 h $\Rightarrow 240 \text{ m}^3$ en 24 h à diviser par le nombre d'opérations pour déterminer $V_{cuvé}$:

$$\boxed{V_{cuvé} = \frac{240}{14,5} = 16,6 \text{ m}^3}$$

2 Réaction en RCPA

Équation de Damköhler : $D_V \cdot C_A^0 - V \cdot k \cdot C_A^S - D_V \cdot C_A^S = 0$

$$\frac{\div D_V \cdot C_A^0}{\div D_V \cdot C_A^0} \Leftrightarrow 1 - k \overline{t} \frac{C_A^S}{C_A^0} - \frac{C_A^S}{C_A^0} = 0 \Leftrightarrow \boxed{\frac{C_A^S}{C_A^0} = \frac{1}{1+k\overline{t}}}$$

Voir Q4

avec $C_A^S = C_A^0 (1-x) \Rightarrow 1 - k \overline{t} \frac{C_A^0 (1-x)}{C_A^0} - \frac{C_A^0 (1-x)}{C_A^0} = 0$

$$\Rightarrow \overline{t} = \frac{x}{k(1-x)} \quad \text{AN} \quad \boxed{\overline{t} = \frac{0,99}{4 \times 0,01} = 24,75 \text{ h}}$$

Pour un débit $D_V = 10 \text{ m}^3 \cdot \text{h}^{-1}$, comme $\overline{t} = \frac{V}{D_V}$

$$\Rightarrow V = \overline{t} \cdot D_V \quad \Rightarrow \boxed{V = 24,75 \times 10 = 247,5 \text{ m}^3}$$

(Ce volume est beaucoup plus important qu' précédemment mais on évalue les 14,5 opérations de maintenance = main d'œuvre courante).

3 Réaction en RP (réacteur piston).

Équation de Damköhler dans un volume dV considéré comme RCPA :

$$D_V \cdot C_A^V - dV \cdot k \cdot C_A^V - D_V \cdot \underbrace{C_A^{V+dV}}_{\substack{\text{termes regroupés}}} = 0$$

$$\Rightarrow D_V \cdot dC_A^V = -k \cdot dV - C_A^V \quad \Rightarrow \quad D_V \cdot \frac{dC_A^V}{C_A^V} = -k dV$$

regroupement
des variables

intégration

$$\Rightarrow D_V \cdot \left[\ln \frac{C_A^V}{C_A^0} \right]_{C_A^0}^{C_A^S} = -k [V]_0^V \quad \Rightarrow \quad D_V \cdot \ln \frac{C_A^S}{C_A^0} = -k V$$

$$\Rightarrow \overline{t} = \frac{V}{D_V} = -\frac{1}{k} \cdot \ln \frac{C_A^S}{C_A^0} \Rightarrow \overline{t} = -\frac{1}{4} \cdot \ln (0,01)$$

souhaite = 0,01

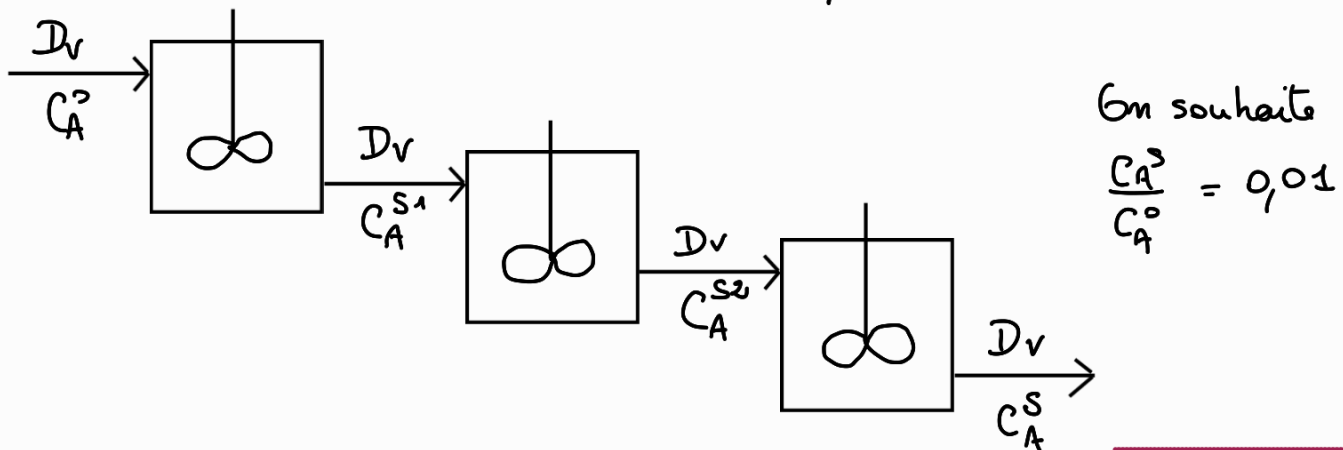
$$\Rightarrow \boxed{\overline{t} = 1,15 \text{ h}}$$

On trouve le même résultat que dans le cas d'un réacteur fermé.

$$\overline{t} = \frac{V}{D_V} = 1,15 \text{ h} \Rightarrow \boxed{V = 1,15 \times D_V = 11,5 \text{ m}^3}$$

de volume est donc beaucoup plus faible que le RCPA, sans opérations multiples de maintenance ... "le meilleur des 2 mondes" ! Toutefois la mise en place technique d'un réacteur piston est plus délicate et coûteuse.

4 Réaction en 3 RCPA en série (supposés identiques).



On reprend le résultat démontré à la Q2 :

$$\boxed{\frac{C_A^S}{C_A^0} = \frac{1}{1 + k \overline{t}}}$$

$$\Rightarrow C_A^{S_1} = \frac{1}{1 + k \overline{t}} \cdot C_A^0 ; \quad C_A^{S_2} = \frac{1}{1 + k \overline{t}} C_A^{S_1} ; \quad C_A^S = \frac{1}{1 + k \overline{t}} C_A^{S_2}$$

$C_A^S = \left(\frac{1}{1 + k \overline{t}} \right)^3 \cdot C_A^0$

$$\Rightarrow \frac{C_A^S}{C_A^0} = \left(\frac{1}{1 + k \overline{t}} \right)^3 = 0,01 = 10^{-2} \Rightarrow \boxed{\overline{t} = 0,91 \text{ h}} \quad (\text{dans chaque RCPA})$$

$$\Rightarrow \boxed{V = \overline{t} \times D_V = 0,91 \times 10 = 9,1 \text{ m}^3}$$

Techniquement moins compliqué, la réaction à 3 RCPA est très intéressante.

Exercice 5



$$SN_2 \Rightarrow n = k [C_2H_5I] \cdot [OH^-]$$

↑
propriété

[1] Temps de passage

$$\boxed{t = \frac{V}{D_V} = \frac{750}{5} = 150 \text{ s}}$$

[2] Équation de Damköhler appliquée à C_2H_5I :

$$D_V \cdot [C_2H_5I]_e - V \cdot k \cdot [C_2H_5I]_s \cdot [OH^-]_s - D_V \cdot [C_2H_5I]_s = 0$$

→ Trop d'inconnues dans cette équation ⇒ Tableau d'avancement :



$$E_e \quad 1 \quad 1 \quad 0 \quad 0$$

$$E_s \quad 1-\xi \quad 1-\xi \quad \xi \quad \xi \quad \Rightarrow X = \frac{\xi}{1} = \xi.$$

$$\Rightarrow D_V \cdot 1 - V \cdot k \cdot (1-\xi)^2 - D_V \cdot (1-\xi) = 0$$

$$\Rightarrow 5 - 750 \cdot 2,21 \cdot 10^{-2} (1-\xi)^2 - 5(1-\xi) = 0$$

Solvem ⇒ $1-\xi = 0,42 \text{ mol.L}^{-1} = [C_2H_5I]_s = [OH^-]_s$

$$\xi = 0,58 \text{ mol.L}^{-1} = [C_2H_5OH]_s = [I^-]_s$$

Gr le taux de conversion $X = \xi \Leftrightarrow X = 0,58$

[3] Equation de Damköhler appliquée à un volume dV du RP appliquée à C_2H_5I qui disparaît.

$$D_V \cdot [C_2H_5I]_V - dV \cdot k \cdot [C_2H_5I]_V \cdot [OH^-]_V - D_V \cdot [C_2H_5I]_{V+dV} = 0$$

→ trop d'inconnues ⇒ tableau d'avancement.



$$E_e \quad 1 \quad 1$$

$$E_V \quad 1 - \xi_V \quad 1 - \xi_V \quad \xi_V \quad \xi_V$$

donc $[C_2H_5I]_V = [OH^-]_V = 1 - \xi_V$

$$\Rightarrow D_V \cdot (1 - \xi_V) - dV \cdot k \cdot (1 - \xi_V)^2 - D_V \cdot (1 - \xi_{V+dV}) = 0$$

$$\Rightarrow +dV \cdot k \cdot (1 - \xi_V)^2 = D_V \cdot d\xi_V$$

\Rightarrow
regroupement
des variables

$$D_V \cdot \frac{d\xi_V}{(1 - \xi_V)^2} = k \cdot dV$$

intégration

$$+D_V \cdot \left[\frac{1}{1 - \xi_V} \right]_{\xi_e=0}^{\xi_s} = k [V]_0^{V_{RP}}$$

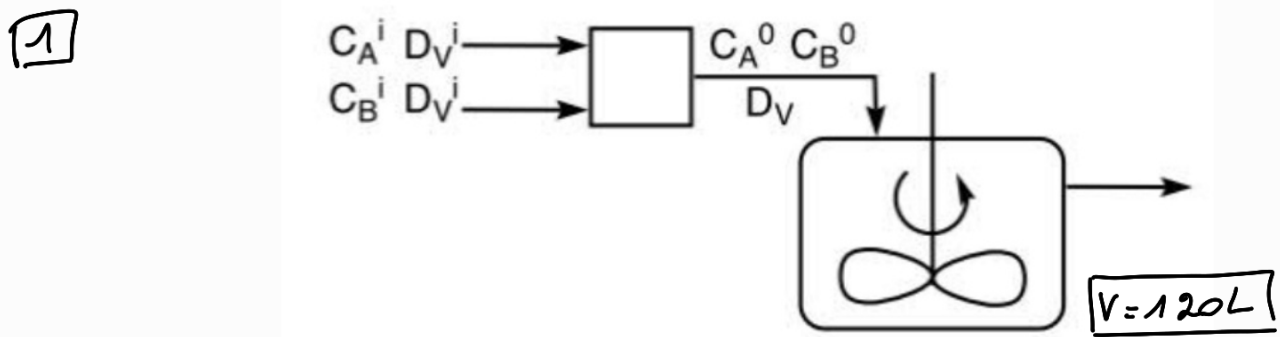
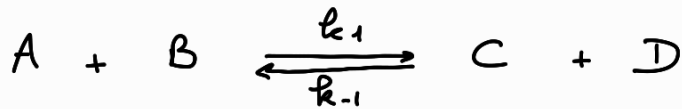
$$\Rightarrow D_V \cdot \left(\frac{1}{1 - \xi_s} - 1 \right) = k \cdot V_{RP} \Rightarrow \frac{\xi_s}{1 - \xi_s} = k \cdot \frac{V_{RP}}{D_V} = k \overline{\epsilon}$$

$$\Rightarrow \xi_s = k \overline{\epsilon} - \xi_s \cdot k \overline{\epsilon} \Rightarrow \xi_s = \frac{k \overline{\epsilon}}{1 + k \overline{\epsilon}} = \frac{2,21 \cdot 10^{-2} \times 750/5}{1 + 2,21 \cdot 10^{-2} \times 750/5}$$

$$\Rightarrow \xi_s = \boxed{x_s = 0,77 \gg 0,58}$$

on l'on prouve encore une fois que le RP est plus efficace que le RCPA.

Exercice 6



Calcul préliminaire de C_A^0 , C_B^0 et D_V :

Bilan sur les fluides: $D_V = D_V^i + D_V^j = 2 D_V^i$

Bilan sur A: $D_V^i \cdot C_A^i = D_V \cdot C_A^0 = 2 D_V^i \cdot C_A^0 \Rightarrow C_A^0 = \frac{C_A^i}{2} = 1,4 \text{ mol.L}^{-1}$

Bilan sur B: idem $\Rightarrow C_B^0 = \frac{C_B^i}{2} = 0,8 \text{ mol.L}^{-1}$

Tableau d'avancement:

	A	+ B	\rightleftharpoons	C	+ D
Ee	C_A^0	C_B^0		0	0
Es	$(C_A^0 - \xi_s)$	$(C_B^0 - \xi_s)$		ξ_s	ξ_s

Les expressions en X (taux de conversion / 0) étant + "lourdes", on prend ξ_s .

Analyse du mécanisme: $\frac{d[A]}{dt} = -k_1 [A][B] + k_{-1}[C][D]$

$$\Rightarrow \frac{d[A]}{dt} = -k_1 (C_A^0 - \xi_s)(C_B^0 - \xi_s) + k_{-1} \xi_s^2 \quad (10)$$

Équation de Damköhler:

$$D_V \cdot C_A^0 - V \cdot k_1 \cdot (C_A^0 - \xi_s)(C_B^0 - \xi_s) + V \cdot k_{-1} \cdot \xi_s^2 - D_V \cdot (C_A^0 - \xi_s) = 0$$

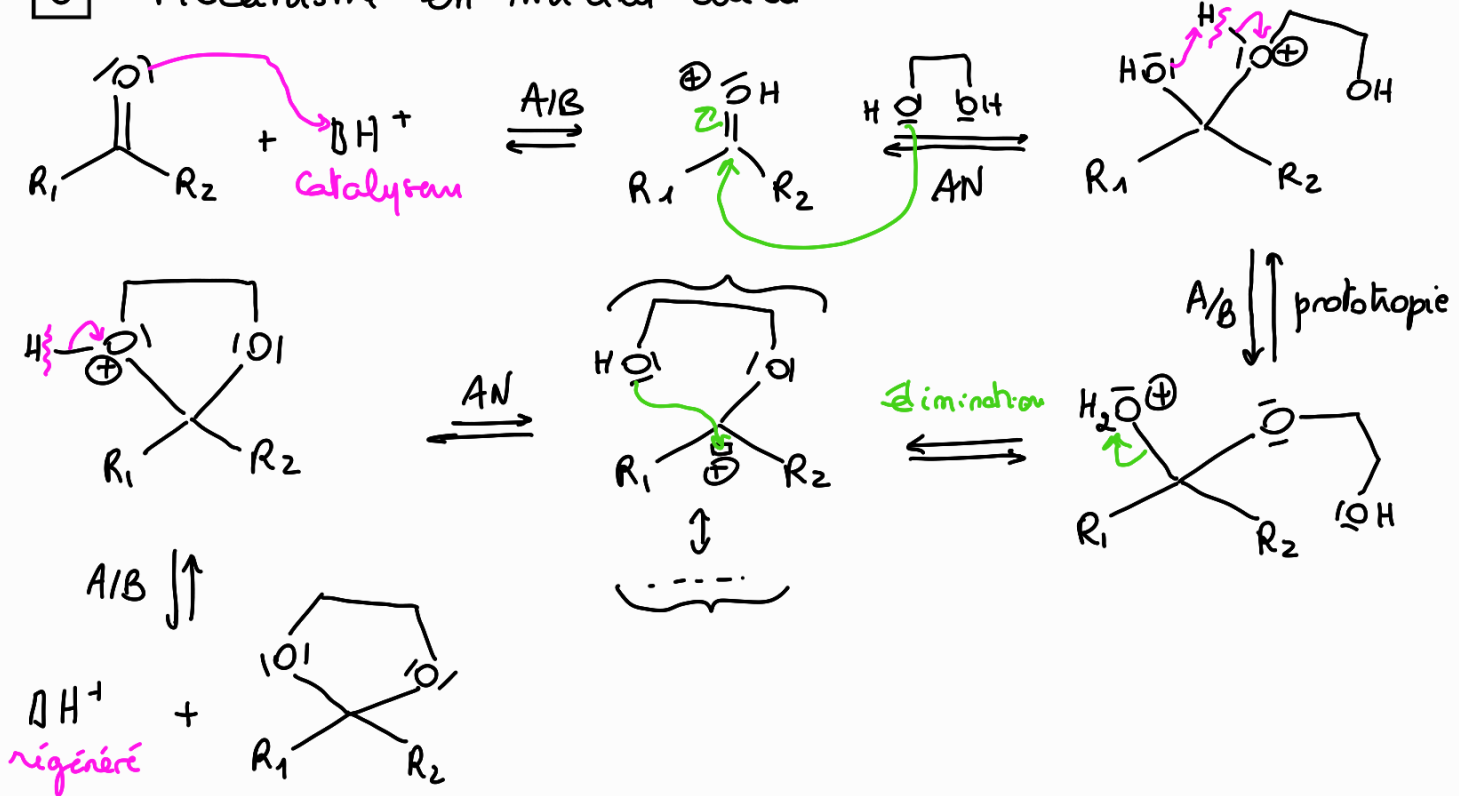
lié à X

On souhaite un taux de conversion, défini par rapport à B, car il est le réactif limitant : $X = 0,75 = \frac{\xi_s}{C_B^0} \Rightarrow \xi_s = 0,75 \times 0,8$

$$\Rightarrow \xi_s = 0,6 \text{ mol.L}^{-1}$$

$$\Rightarrow D_V = \frac{[-k_{-1} \cdot \xi_s^2 + k_1 (C_A^0 - \xi_s)(C_B^0 - \xi_s)] \cdot V}{\xi_s} = 8 \text{ L.min}^{-1}$$

3 Mécanisme en milieu acide



3 La résine poreuse acide fournit H^+ sans qu'il soit nécessaire de l'éliminer ensuite (H^+ reste dans la résine pour des raisons de neutralité).

4 Équation de Damköhler en RP sur un volume dV .

$$D_V (C_A^\circ - \xi_v) - k_{+1} \cdot dV \cdot (C_A^\circ - \xi_v)(C_B^\circ - \xi_v) + k_{-1} \cdot dV \cdot \xi_v^2 - D_V \cdot (C_A^\circ - \xi_{V+dV}) = 0$$

$$\Rightarrow D_V \cdot \frac{d\xi_v}{dV} = k_{+1} (C_A^\circ - \xi_v) (C_B^\circ - \xi_v) - k_{-1} \xi_v^2$$

regroupement
de variable

$$D_V \cdot \frac{d\xi_v}{k_{+1} (C_A^\circ - \xi_v) (C_B^\circ - \xi_v) - k_{-1} \xi_v^2} = dV \quad (\text{équa. diff.})$$

5 L'équation différentielle peut s'écrire sous la forme suivante :

$$\frac{d\xi_v}{dV} = \left[k_{+1} (C_A^\circ - \xi_v) (C_B^\circ - \xi_v) - k_{-1} \xi_v^2 \right] - \frac{1}{D_V}$$

peut à calculer pour une fonction pour la méthode d'Euler

de script Python permettant du tracer $X = \xi_V = f(V)$ est fourni ci-dessous (retrouver le fichier Python sur le site).

#Packages nécessaires

```
import matplotlib.pyplot as plt
```

Données numériques

```
k1,km1=7,3 # constantes de vitesse fournies (s-1)
```

```
D=8 # débit volumique du mélange en entrée du Réacteur piston
```

Concentrations initiales en A et B après mélange :

```
CA=1.4 # en mol/L
```

```
CB=0.8
```

#Expression de la pente de la courbe $\xi_V = f(V)$,

#cad l'expression de la fonction dérivée $d\xi_V / dV$.

#Variable générale appelée x (ξ_V dans notre problème)

```
def p(x):
```

```
    return (k1*(CA-x)*(CB-x)-km1*x**2)/D
```

#Méthode d'Euler :

```
def euler(f:callable,xi:float,xf:float,yi:float,N:int): # i pour initial, f
```

pour final

```
    dx=(xf-xi)/N #valeur du pas d'abscisse x
```

```
    LX=[xi] #liste des abscisses x
```

```
    LY=[yi] #liste des ordonnées y
```

```
    for k in range (0,N):
```

```
        newY=LY[-1]+dx*f(LY[-1]) # fournit Y (newY) à l'abscisse X+dx
```

```
        LY.append(newY) #rajoute le nouveau Y à la liste des
```

ordonnées

```
        LX.append(LX[-1]+dx)
```

```
    return LX,LY
```

#Application de la méthode d'Euler dans le cas de notre courbe $\xi_V = f(V)$ dont la fonction pente est connue ($p(x)$), fonction de ξ_V , valeurs en ordonnée. Les volumes sont les abscisses.

$V_i, V_f=0,10$ # bornes : volume initial (connu) et final (choix) pour l'étude du RP

$\xi_{i0}=0$ # avancement initial (connu)

$N=1000$ # un calcul toutes les 0.01 L

```
LV,Lksi=euler(p,Vi,Vf,ksi0,N)
```

#Tracé de l'avancement en fonction du volume du réacteur

```
plt.plot(LV,Lksi,'r-')
```

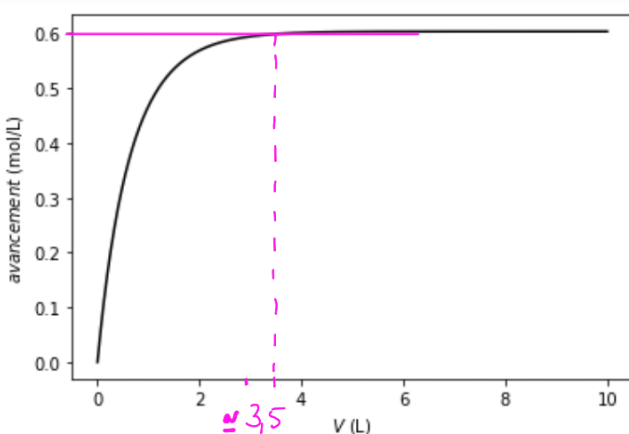
```
plt.xlabel('$V$ (L)')
```

```
plt.ylabel('avancement (mol/L)')
```

```
plt.tick_params(axis='y',which='both')
```

```
plt.show
```

programme qui fournit la courbe :



On relève un volume de 3,5 L pour atteindre $\xi_V = 0,6$ correspondant au taux de conversion de 75 % (qui correspond à ξ_{max} équilibre) -

Compte tenu de la réseine, il faut un RP où $2 \times 3,5 = 7 L$, avec $D_v = 10 \text{ m}^3 \cdot \text{L}^{-1}$

Le RP est beaucoup plus petit que RCPA.

Exercice 7

température du fluide calorporteur

$$\boxed{1} \quad \dot{Q}_{\text{th, échangé}} = h \cdot S \cdot (T_p - T_s).$$

↑
température dans le réacteur ($\neq T_e$ a priori).
 $T_s > T_p \Rightarrow \dot{Q}_{\text{th}} < 0$

$$\boxed{2} \quad \text{Réaction : } R-\text{OH} + C \longrightarrow \dots$$

E_e solvant eau

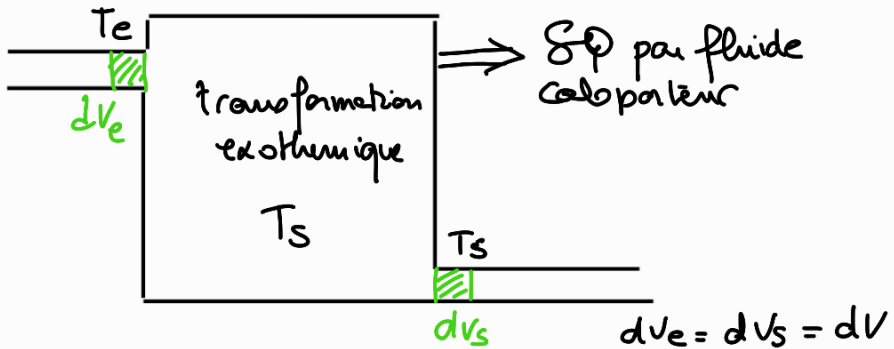
E_s solvant eau

C_0

$C(1-\alpha)$ où α est le taux de conversion de C.

\Rightarrow avancement $C_0 \alpha \cdot dV$ (mol)

1^{er} principe appliquée à un échantillon de volume dV entre l'entrée et la sortie.



$$\delta Q_{\text{éch}} = \rho_{\text{al}} c_{p,dV_e} \cdot (T_s - T_e) + \underbrace{\alpha V \cdot C_0 \alpha \cdot \Delta rH^\circ}_{\text{avancement en mol.}}$$

$$\Rightarrow \delta Q_{\text{éch}} = \underbrace{\rho_{AP} \cdot dV}_{\text{dm q.}} \cdot c_{p,AP} (T_s - T_e) + \alpha V \cdot C_0 \alpha \cdot \Delta rH^\circ$$

$$\div dt \Rightarrow \frac{\delta Q_{\text{éch}}}{dt} = \dot{Q}_{\text{th}} = \rho_{AP} \cdot D_V \cdot c_{p,AP} (T_s - T_e) + D_V \cdot C_0 \cdot \alpha \cdot \Delta rH^\circ$$

$$\Rightarrow h \cdot S (T_p - T_s) = \rho_{AP} \cdot D_V \cdot c_{p,AP} (T_s - T_e) + D_V \cdot C_0 \alpha \cdot \Delta rH^\circ$$

$$\boxed{3} \Rightarrow h \cdot S \cdot T_p + \rho_{AP} \cdot D_V \cdot c_{p,AP} \cdot T_e - D_V \cdot C_0 \alpha \cdot \Delta rH^\circ = (h \cdot S + \rho_{AP} \cdot D_V \cdot c_{p,AP}) \cdot T_s$$

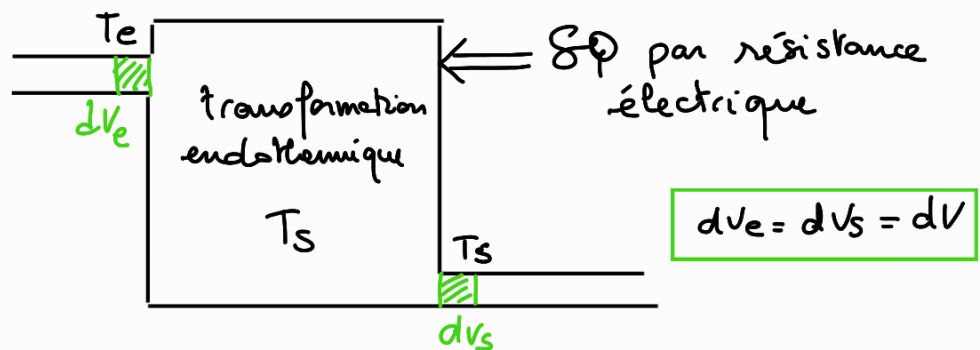
$$\Rightarrow T_s = \frac{h \cdot S \cdot T_p + \rho_{AP} \cdot D_V \cdot c_{p,AP} \cdot T_e - D_V \cdot C_0 \alpha \cdot \Delta rH^\circ}{h \cdot S + \rho_{AP} \cdot D_V \cdot c_{p,AP}}$$

$$\text{AN} \quad T_s = \frac{500 \times 0,5 \times 273 + 0,85 \times 0,1 \times 2,20 \times 273 - 91 \cdot 0,5 \times 0,8 \times -251 \cdot 10^3}{500 \times 0,5 + 0,85 \times 0,1 \times 2,20}$$

$$\Rightarrow T_s = 313 \text{ K} = 40^\circ\text{C}$$

$\boxed{4}$ de cinétique de la réaction pourrait empêcher d'atteindre $\alpha = 0,8$.

Exercice 8



1

$$\underline{\text{Bilan de matière}} : I_1 = I_2$$

$$E_e \quad N \quad 0 \quad \text{où } N \text{ est le n° de molles}$$

$$E_s \quad N(1-\alpha) \quad N\alpha \quad \text{dans le volume } dV, \text{ et } \alpha \text{ le taux de conversion}$$

Etude cinétique: Équation de Dombühl dans le RCFP à volume V:

$$D_V \cdot C_{I_1}^{\circ} - V \cdot \rho_k(T) \cdot C_{I_1}^{\circ} (1-\alpha) - D_V \cdot C_{I_1}^{\circ} (1-\alpha) = 0$$

$$\Rightarrow V = \frac{D_V \cdot C_{I_1}^{\circ} \cdot \alpha}{\rho_k(T) \cdot C_{I_1}^{\circ} (1-\alpha)} = \frac{145 \times 3,6 \times 0,9}{2,61 \cdot 10^{14} \cdot \exp\left(-\frac{14570}{273+160}\right) \cdot 3,6 \cdot (1-0,9)}$$

$$\Rightarrow V = 2054 \text{ L} = 2,054 \text{ m}^3$$

2 Application du 1^o principe au volume dV entre l'entrée et la sortie:

$$SQ = C_p \cdot dV \cdot (T_s - T_e) + \xi_{s(dV)} \cdot \Delta s H^\circ$$

J.mol⁻¹K⁻¹

$$SQ = C_p m \times \frac{Q \cdot dV}{M} (T_s - T_e) + \frac{Q \cdot dV \cdot \alpha}{M} \cdot \Delta r H^\circ$$

mol

$$\therefore \frac{dQ}{dt} = \frac{SQ}{dt} = P_H = R i^2 = C_p m \cdot \rho / M \cdot D_V (T_s - T_e) + \rho / M \cdot D_V \cdot \alpha \cdot \Delta r H^\circ$$

$= \frac{dV}{dt}$

$$\Rightarrow R = \frac{1}{i^2} \cdot \frac{Q \cdot D_V}{M} \left(C_p m (T_s - T_e) + \alpha \cdot \Delta r H^\circ \right)$$

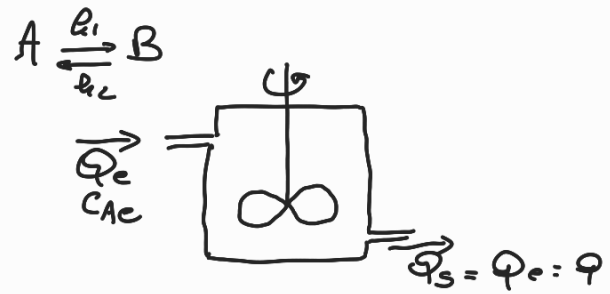
$$\Rightarrow R = \frac{1}{1^2} \cdot \frac{900}{250} \cdot \frac{145}{3600} \left(520(160-20) + 0,90 \times 85,7 \cdot 10^3 \right)$$

$\text{A : C.s}^{-1} \rightarrow \text{L.s}^{-1}$

$$\Rightarrow R = 21,7 \text{ k}\Omega$$

Exercice 9

$$k_1 = A_1 e^{-E_1/RT} \quad k_2 = A_2 e^{-E_2/RT}$$



1 Domhöhlle

$$Q \cdot C_{Ae} - k_1 \cdot V \cdot C_{As} + k_2 \cdot V \cdot C_{Bs} - Q \cdot C_{Cs} = 0$$

$$\Leftrightarrow C_{Ae} - k_1 T C_{Ae}(1-x) + k_2 T C_{Ae} \cdot x - C_{Ae}(1-x) = 0$$

E_1	C_{Ae}	$=$	B
E_2	C_{Ae}	$=$	0
E_S	$C_{Ae}(1-x)$	$x C_{Ae}$	

$$\Leftrightarrow C_{Ae} - k_1 T C_{Ae} + k_2 T C_{Ae} x + k_2 T C_{Ae} x - C_{Ae} + C_{Ae} x = 0$$

$$\Leftrightarrow x (C_{Ae} (k_2 T + k_2 T + 1)) = k_1 T C_{Ae}$$

$$\Leftrightarrow x = \frac{k_1 T}{k_1 T + k_2 T + 1}$$

2 import matplotlib.pyplot as plt

```
import numpy as np
```

```
# Données
```

$$A_1 = 1.0 \times 10^{13}$$

$$E_1 = 124.8 \times 10^3$$

$$A_2 = 3.9 \times 10^{30}$$

$$E_2 = 291.2 \times 10^3$$

$$R = 8,31$$

```
# Crédit à la liste des fonctions qui calculent k1 et k2
```

```
def k1(T):
```

$$\text{return } A_1 \times \text{np.exp}\left(-E_1 / (R * T)\right)$$

```
def k2(T):
```

$$\text{return } A_2 \times \text{np.exp}\left(-E_2 / (R * T)\right)$$

```
# Crédit à la liste des fonctions qui calcule x à T, pour T donné
```

```
def X(t0, T)
```

$$\text{return } k_1(T) * t_0 / (k_1(T) * t_0 + k_2(T) * t_0 + 1)$$

```
# Crédit à la liste des fonctions qui calcule x à T, pour T donné
```

$$T_0 = [0.1, 1, 10, 30]$$

$$M = \{ \text{'-'}, \text{'-:'}, \text{'--'}, \text{'.'} \}$$

Construction des listes d'ordonnées x et abscisses T à l'étape i = 0

T = np.linspace(400, 550, 150)

for to in TO :

```
plt.plot (T, X(t0,T), M[i], label = "t0 = "+str(TD[i])+'s')
```

plt. x label ('T/k')

pref. y label ('x')

```
plt . legend( )
```

plt. title ('Evolution x(t) à t0 donné').

plt . grid ()

plt.show()

3

de courbe EQ est tracée en posant la condition d'équilibre :

$$n_1 = n_2 \Leftrightarrow k_1 C_4^{\alpha} (1-x_4) = k_2 C_4^{\alpha} x_4$$

$$\Leftrightarrow k_1 - k_1 x_1' = k_2 x_2' \Rightarrow x_1' = \frac{k_1}{k_1 + k_2}$$

où ρ_1 et ρ_2
dépendent de T

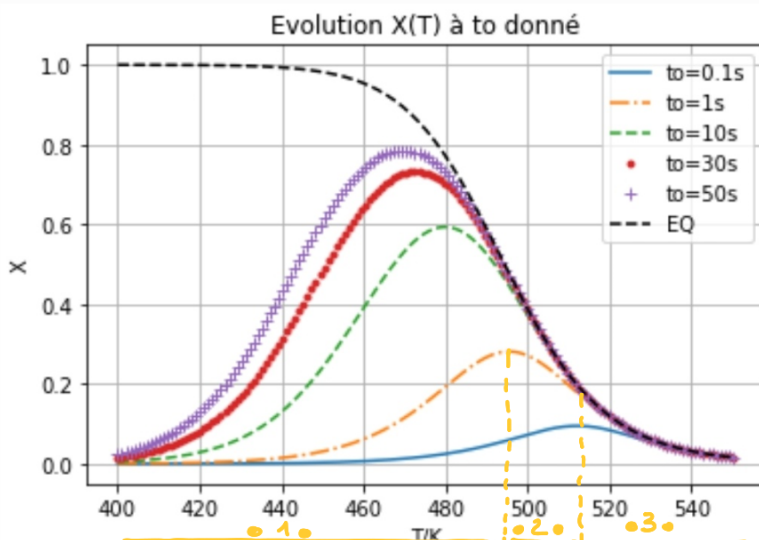
Donc dans le programme, on ajoute :

```

def Xeq(T) :
    return k1(T) / (k1(T) + k2(T))

puis plt.plot(T, Xeq(T), '--', color='le', label='EQ').

```



On a rajouté sur les courbes demandées, la courbe $X_{\text{éq}}(T)$, calculée en écrivant qu'à l'éq., $n_1 = n_2$.

On distingue alors 3 zones sur toutes les courbes :

- 1 • $T < T_{\text{max}}$
 - 2 • $T_{\text{max}} < T < T_{\text{équilibre atteint}}$
 - 3 • $T = T_{\text{équilibre atteint}}$ $r_A \approx 0$
- Exemple.**

Courbes en cloche devent plus hautes quand t_0 :

Plus le temps de passage augmente, plus le taux de conversion X augmente ce qui est cohérent avec l'aspect CINÉTIQUE de la transformation.

Mais le taux de conversion n'augmente pas avec la température que pour $T < T_{\text{max}}$ de chaque courbe. En effet :

$T < T_{\text{max}}$ • $T \rightarrow$ accélère la réaction \Rightarrow le taux de conversion par accélération de la conversion \rightarrow atteindre une conversion maximale $\leq X_{\text{éq}}$.

$T > T_{\text{max}}$ • $T \rightarrow$ mais on approche de l'équilibre ($n_1 = n_2$) $\Rightarrow r_A \rightarrow 0 \Rightarrow T_h > C_{in}$

$T > T_{\text{max}}$ • $X \downarrow \Leftrightarrow K^o(T) \downarrow$ quand $T \rightarrow \Rightarrow$ Réaction exothermique : $\Delta_r H^o < 0$

On confirme que $\Delta_r H^o < 0$ par son calcul : $\Delta_r H^o = E_{A_1} - E_{A_2} = -166,6 \text{ kJ.mol}^{-1}$

4 On cherche une relation entre $x_{\text{DONNÉ}}$ et T telle que r_A soit max selon $T \Rightarrow \left(\frac{dr_A}{dT}\right)_X = 0$ or $\frac{dr_A}{dT} = r_A = -k_1 C_A^\circ (1-x) + k_2 C_A^\circ x = -k_1 C_A^\circ + k_1 C_A^\circ x + k_2 C_A^\circ x$

Rappel :

$$k_1 = A_1 \exp\left(-\frac{E_{a1}}{RT}\right) \Rightarrow \frac{dk_1}{dT} = -A_1 \cdot \frac{E_{a1}}{R} \left[\exp\left(-\frac{E_{a1}}{RT}\right) \right] \frac{1}{T^2} = -\frac{E_{a1}}{RT^2} \cdot k_1$$

$$k_2 = A_2 \exp\left(-\frac{E_{a2}}{RT}\right) \Rightarrow \frac{dk_2}{dT} = -A_2 \cdot \frac{E_{a2}}{R} \left[\exp\left(-\frac{E_{a2}}{RT}\right) \right] \frac{1}{T^2} = -\frac{E_{a2}}{RT^2} \cdot k_2$$

$$\text{donc } \frac{dr_A}{dT} = + \frac{E_{a1}}{RT^2} \cdot k_1 \cdot C_A^\circ - \frac{E_{a1}}{RT^2} \cdot C_A^\circ \cdot k_1 \cdot x - \frac{E_{a2}}{RT^2} \cdot k_2 \cdot C_A^\circ \cdot x = 0$$

Condition

$$\Leftrightarrow k_1 \cdot E_{a1} = (E_{a1} \cdot k_1 + E_{a2} \cdot k_2) \cdot x$$

$$\Leftrightarrow X = \frac{k_1 \cdot E_{a1}}{k_1 \cdot E_{a1} + k_2 \cdot E_{a2}} \quad (\text{où } k_i = f(T)).$$

Ainsi, en calculant à T donné la valeur de X par cette expression, ce sera la valeur de X telle que la vitesse de la conversion de A est maximale, permettant d'avoir le taux "maximal" où atteindra X_{eq} dans le temps de passage choisi. (X_{max} ne sera pas forcément atteint, selon le temps de passage et la température choisie)

5 On complète le programme précédent pour le tracé de cette nouvelle courbe.

Nouvelle fonction POT à définir :

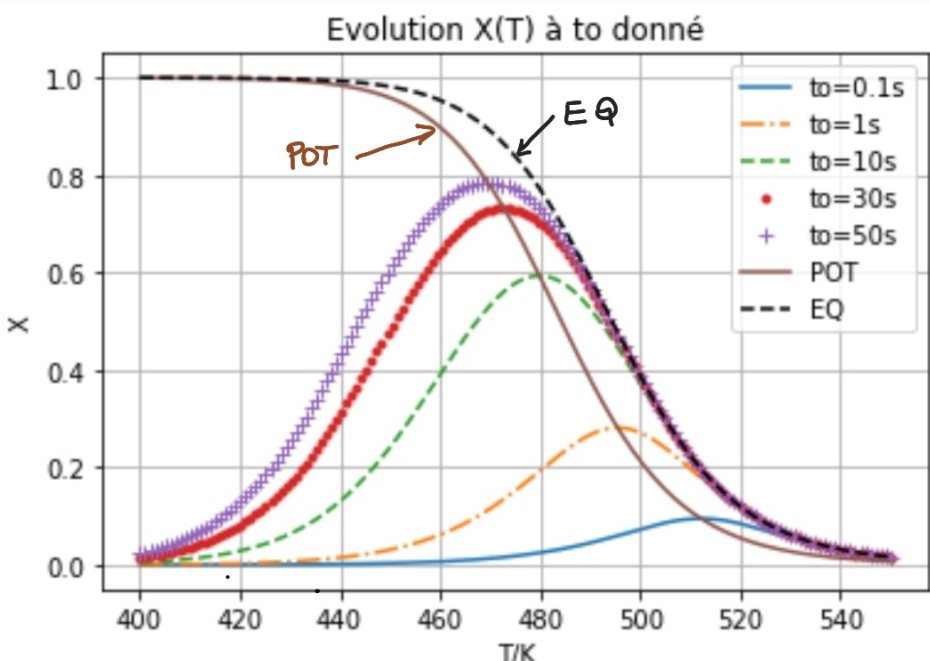
def Xopt(T) :

return $k_1(T) * E1 / (k_2(T) * E2 + k_1(T) * E1)$

Nouvelle courbe à tracer

plt.plot(T, Xopt(T), 'x', label = 'POT') # POT \Rightarrow Progression Optimale de la Température

Résultat page suivante.



(EQ) *

donne la conversion max possible, d'un pt de vue THERMODYNAMIQUE, hors limitation cinétique

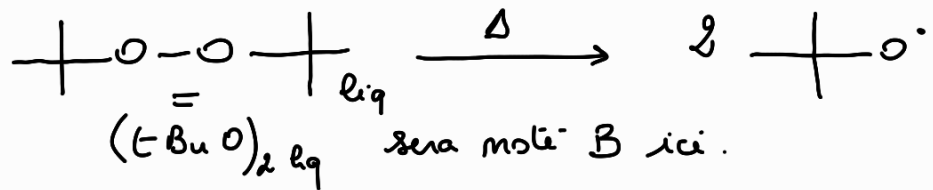
(POT)

Donne à une température donnée, la conversion pour laquelle la vitesse de conversion de A est maximale - Cette courbe est appelée POT (Progression optimale en la Température)

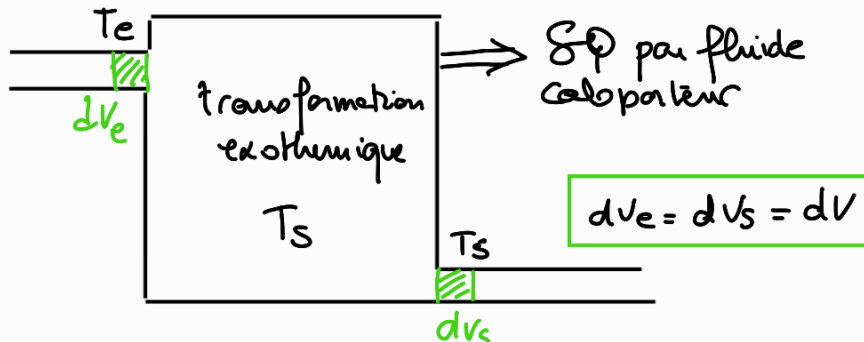
Toutes les autres courbes, présentant un maximum, donnent la conversion RÉELLE, selon le temps de passage disponible, imposé par le RCPA choisi (son volume et le débit choisi).

La courbe POT croise les courbes réelles à leur maximum de conversion en fonction de T , d'où son nom = elle donne donc la température optimale à choisir dans un RCPA donné, avec son t_0 , pour être sûr d'obtenir la conversion maximale possible dans les conditions opératoires (t_0) choisies.

Exercice 10



et $n = k(T) \cdot [B]$ avec $k(T) = A \exp\left(\frac{-E_a}{RT}\right)$



1 Équation cinétique de Damköhler appliquée au RCPA :

$$D_V \cdot C_B^e - V \cdot k(T) \cdot C_B^s - D_V \cdot C_B^s = 0$$

$$\div C_B^e \Rightarrow D_V - V \cdot k(T)(1-\alpha) - D_V \cdot (1-\alpha) = 0$$

$$\begin{aligned} \text{avec } \alpha &= \frac{C_B^s - C_B^e}{C_B^e} \\ \Rightarrow \alpha &= 1 - \frac{C_B^s}{C_B^e} \\ \Rightarrow \frac{C_B^s}{C_B^e} &= 1 - \alpha \end{aligned}$$

$$\Rightarrow D_V \cdot \alpha = V \cdot A \cdot \exp\left(-\frac{E_a}{RT}\right) \cdot (1-\alpha)$$

$$\div D_V \Rightarrow \alpha = \frac{T \cdot A \cdot \exp\left(-\frac{E_a}{RT}\right) \cdot (1-\alpha)}{1 + \frac{T \cdot A \cdot \exp\left(-\frac{E_a}{RT}\right)}{D_V} \cdot (1-\alpha)}$$

$$\Rightarrow \alpha = \frac{T \cdot A \cdot \exp\left(-\frac{E_a}{RT}\right)}{1 + \frac{T \cdot A \cdot \exp\left(-\frac{E_a}{RT}\right)}{D_V}}$$

équation cinétique $\alpha = f(T)$

[2] Équation thermodynamique : Application du 1^{er} principe à l'évolution du volume dV entre l'entrée et la sortie.

$$\delta Q = C_p(dV) \cdot (T_s - T_e) + \underbrace{\int_{dV}^s \Delta rH^\circ}_{J \cdot g^{-1} \cdot K^{-1}} \cdot \alpha$$

$$\Rightarrow \delta Q = C_p^\circ \cdot \rho \cdot dV \cdot (T_s - T_e) + \underbrace{\frac{\rho \cdot dV}{M} \cdot \alpha \cdot \Delta rH^\circ}_{\text{avancement} = N_{dV} \cdot \alpha \cdot (\text{mol})}$$

$$\stackrel{dt}{\Rightarrow} \dot{Q}_h = C_p^\circ \cdot \rho \cdot D_V \cdot (T_s - T_e) + \frac{\rho}{M} \cdot D_V \cdot \alpha \cdot \Delta rH^\circ$$

$$\Rightarrow h.s (T_0 - T_s) = \rho \cdot D_V \left(C_p^\circ (T_s - T_e) + \frac{\alpha}{M} \cdot \Delta rH^\circ \right)$$

$$\Rightarrow \alpha = \frac{[h.s (T_0 - T_s) - \rho \cdot D_V \cdot C_p^\circ (T_s - T_e)] \cdot M}{\rho \cdot D_V \cdot \Delta rH^\circ}$$

équation thermodynamique $\alpha = g(T)$.

[5] Résolution du système au solvate :

$$\alpha = \frac{T \cdot A \cdot \exp(-E_a/RT)}{1 + T \cdot A \cdot \exp(-E_a/RT)} = \frac{[h.s (T_0 - T_s) - \rho \cdot D_V \cdot C_p^\circ (T_s - T_e)] \cdot M}{m^2 \cdot \rho \cdot D_V \cdot \Delta rH^\circ} \cdot \frac{D_V \cdot L \cdot s^{-1}}{J \cdot mol \cdot L \cdot s^{-1}}$$

$$\frac{0,5 \cdot 3600}{3} \times 10^{15} \times \exp\left(\frac{-157 \cdot 10^3}{8,314 \times T}\right) = \frac{[80 \times 300 \cdot 10^{-4} (20 - T) - 900 \cdot (3/3600) \cdot 2,1 (T - 200)] \cdot 146}{900 \cdot (3/3600) \cdot (-150 \cdot 10^3)}$$

$$1 + \frac{0,5 \cdot 3600 \cdot 10^{15}}{3} \cdot \exp\left(\frac{-157 \cdot 10^3}{8,314 \times T}\right)$$

$$\Rightarrow \begin{cases} 3 \text{ valeurs de } T & T = \\ & \downarrow \\ 3 \text{ valeurs de } \alpha & \alpha = \end{cases} \quad \begin{array}{|c|c|c|} \hline & 461 \text{ K} & 558 \text{ K} & 364 \text{ K} \\ \hline & 0,49 & 0,999 & 1,8 \cdot 10^{-5} \\ \hline \text{instable} & \text{stable} & \text{stable} & \text{stable} \\ \hline \end{array}$$

On retrace (laborieusement !) grâce à un solvate les résultats rendus par le script Python, qui fournit aussi le graphe, permettant de juger de la stabilité, ou de l'instabilité des points de fonctionnement.

Rq : (3 valeurs de $T \Rightarrow 1^{\circ}$ stable, 2^o instable, 3^o stable).

Réolution par Python :

Script

```
#Importation des bibliothèques
```

```
import numpy as np  
import matplotlib.pyplot as plt  
import scipy.optimize as opt
```

```
#Paramètres numériques utilisés
```

```
E=157*10**3 #en J/mol  
A=10**15 #s-1  
R=8.314 #J/K/mol  
V=0.5 #Litre  
D=3/3600 #L/s  
h=80 # W/m²/K  
S=300*10**-4 # m²  
H=-150*10**3 #J/mol  
ρ₀=900 # g/L  
M=146 # g/mol  
Cp=2.1 # J/g/K  
T₀=473 # K  
Tᵣ=293 # K
```

```
#Fonctions à tracer
```

```
to=V/D # calcul du temps de passage to
```

```
def k(T):  
    return A*np.exp(-E/(R*T))  
def Xcin(T):  
    return k(T)*to/(1+k(T)*to)  
def Xth(T):  
    return (h*S*(Tᵣ-T)-ρ₀*D*Cp*(T-T₀))*M/(ρ₀*D*H)
```

```
#Tracé des 2 courbes
```

```
T=np.linspace(300, 600, 3000)  
plt.plot(T, Xcint(T), label="X cinétique")  
plt.plot(T, Xth(T), label="X thermodynamique")  
plt.title("Etude de la stabilité du réacteur")  
plt.ylabel("taux de conversion")  
plt.xlabel("T(K)")  
plt.legend()  
plt.grid(True) # quadrillage  
plt.show()
```

```
# Recherche des points d'intersection par la méthode de dichotomie
```

```
#Création de la méthode de dichotomie
```

```
def dichotomie(f, a, b, eps):  
    while b-a > eps:  
        milieu = (a+b)/2  
        if f(a)*f(milieu) <= 0:  
            b = milieu  
        else:  
            a = milieu  
    return milieu
```

```

# Equation à résoudre pour trouver T d'un point de fonctionnement

def Tf(T):
    return Xcin(T) - Xth(T)

#recherche des points dans les domaines 350-375 450-475 550-575 p

T1=dichotomie(Tf, 350, 375, 0.01)
X1=Xcin(T1)
print("1° point de fonctionnement : T1 = "+ str(T1)+"X1 = "+str(X1))

T2=dichotomie(Tf, 450, 475, 0.01)
X2=Xcin(T2)
print("2° point de fonctionnement : T2 = "+ str(T2)+"X2 = "+str(X2))

T3=dichotomie(Tf, 550, 575, 0.01)
X3=Xcin(T3)
print("3° point de fonctionnement : T3 = "+ str(T3)+"X3 = "+str(X3))

# Utilisation de la fonction bisect au lieu de programmer la méthode de dichotomie

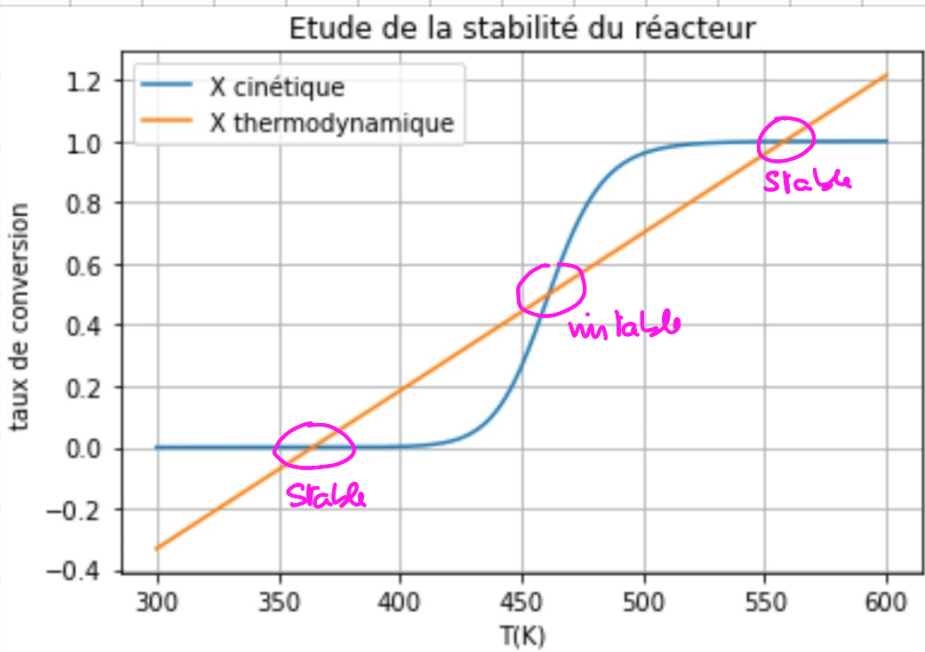
T1=opt.bisect(Tf, 350, 375)
X1=Xcin(T1)
print("1° point de fonctionnement : T1 = "+ str(T1)+"X1 = "+str(X1))

T2=opt.bisect(Tf, 450, 475)
X2=Xcin(T2)
print("2° point de fonctionnement : T2 = "+ str(T2)+"X2 = "+str(X2))

T3=opt.bisect(Tf, 550, 575)
X3=Xcin(T3)
print("3° point de fonctionnement : T3 = "+ str(T3)+"X3 = "+str(X3))

```

Programme qui renvoie les résultats suivants :



1° point de fonctionnement : T1 = 364.35546875 X1 = 1.8600922288595276e-05
 2° point de fonctionnement : T2 = 461.23046875 X2 = 0.49836549210669623
 3° point de fonctionnement : T3 = 558.10546875 X3 = 0.9991756965485163

Souvent les mêmes résultats que pour un calcul à la main. (ouf!)